

流木衝突力の実用的評価法

秋田大学 学員○吉田和也 正員 松富英夫

1.まえがき 実験に基づいて、段波とサージに伴う流木の衝突力評価式を提案した^{1),2)}。それ等は平均的な衝突力を与えるもので、危険側の衝突力を与えるものではない。式形が複雑で、使い勝手も悪い。そこで、本研究は、新たな実験データを加えて、危険側を与える簡便な流木衝突力評価式を提案するものである。

2. 実験 使用した水路は水平に設置された鋼製矩形水路で、段波とサージはゲート急開により発生させた。実験装置の概略を図-1に示す。対象力の測定には、受圧壁の取り替えが可能で、全力Fのみ測定可能な自作の波力計を用いた¹⁾。実験での段波とサージの発生条件を表-1に示す。表中、 h_1 と h_0 は各々初期ゲート上・下流側の水深である。各実験において、流木は1本のみとし、初期の配置条件は流木中心軸を流れ方向に向け、重心に関してゲートからの距離2.55mの所に静置とした。使用流木の諸元を表-2に示す。

図-1 実験装置

表-1 段波とサージの発生条件

	h_1 (cm)	h_0 (cm)
段波	35, 40, 45	1, 2
サージ	20, 25, 40	0

表-2 流木諸元

D (cm)	L (cm)
4.8-12	36.4-160
L/D	W (gf)
8, 12, 16	305-8615

3. 実験結果

3.1 見かけの質量係数 構造物(受圧壁)の開度入による見かけの質量係数 C_{MA} の変化を図-2(a)と(b)に示す。図中の各実験値は10回の平均で(これは、以下でも同じ)、 C_{MA} は次式で評価されている。

ここで、 F_d は経時的な流木衝突力、 t は時間、 M は流木質量、 u_w は壁から約50cm上流での流木先端部の水平移動速度である。各図中の実線は危険側を考えた

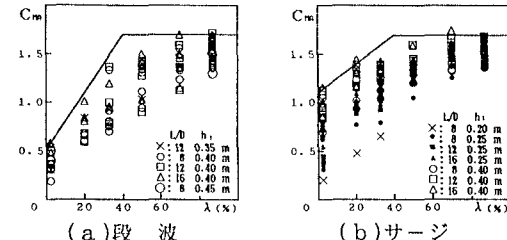


図-2 開度入による見かけの質量係数 C_{MA} の変化

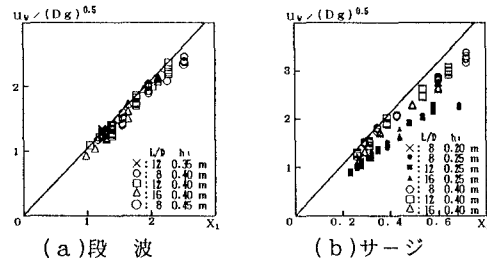


図-3 危険側の流木移動速度 u_w

時の実験直線で、段波の場合は、

$$C_{MA} = 1.7 \quad \lambda > 40\% \quad \dots \dots \dots \quad (2a)$$

$$= 0.03\lambda + 0.5 \quad \lambda \leq 40\% \quad \dots \dots \dots \quad (2b)$$

サージの場合は、

$$C_{MA} = 1.7 \quad \lambda > 40\% \quad \dots \dots \dots \quad (3a)$$

$$= 0.015\lambda + 1.1 \quad \lambda \leq 40\% \quad \dots \dots \dots \quad (3b)$$

C_{MA} は段波波高水深比 $\Delta H/h$ 。(後述) や L/D 等にほとんど依存しない^{1), 2)}。入 = 100% の時、 C_{MA} は本来の質量係数 C_M と解釈される。段波とサーボ共に、その値は約 1.7 である。入 ≤ 40% の時、サーボでの C_{MA} は段波でのものより大きい。これは、例えば流木の諸元と移動速度が同じ時、流れ先端での水位変化率はサーボの方が小さく、上方に投げ出される流体の緩衝機能が小さくなることから、予想されることである。

3.2 流木の移動速度 本研究では、開度入に依存しない流木移動速度 U_w を採用している。見かけの質量係数 C_{MA} のように、開度による区分は必要ない。

次元解析に基づいて^{1), 2)}, 段波とサージにおける流木移動速度の回帰式を求めれば、各々次式を得る。

$$u_w = 0.98 (\Delta H / h_0)^{0.48} (\Delta H / D)^{0.72} \cdot (L/D)^{-0.26} (gD)^{0.5} \quad \text{(段波) } \dots (4)$$

$$u_w = 4.3(H/D)^{0.99}(L/D)^{-0.27}(g D)^{0.5} \quad (\text{サージ}) \cdots (5)$$

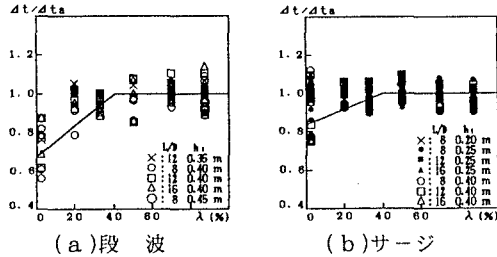


図-4 開度入による衝突力継続時間 Δt の変化

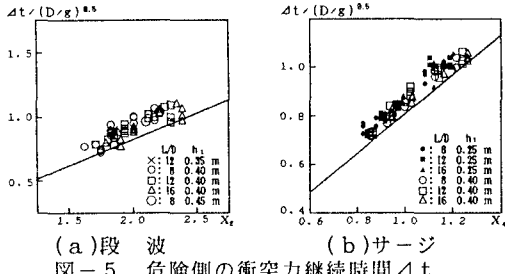


図-5 危険側の衝突力継続時間 Δt

ここで、 ΔH は段波波高、 H は h_1 毎の流木衝突直前での流木重心での全水深の平均、 g は重力加速度である。

危険側の流木の移動速度評価式を得るため、式(4)と(5)の右辺（係数は除く）を各々 X_1 、 X_3 として、実験値をプロットしたものを図-3(a)と(b)に示す。各図中の実線は危険側の包絡線で、各々次式である。

$$u_w = 1.05(\Delta H/h_0)^{0.48}(\Delta H/D)^{0.72} \cdot (L/D)^{-0.26}(gD)^{0.5} \quad (\text{段波}) \quad \dots(6)$$

$$u_w = 5.3(H/D)^{0.99}(L/D)^{-0.27}(gD)^{0.5} \quad (\text{サージ}) \quad \dots(7)$$

3.3 衝突力継続時間 図-4(a)と(b)に段波とサージにおける開度入による衝突力継続時間 Δt の変化を示す。ただし、段波とサージ共に、 h_1 と流木諸元毎の入 $>40\%$ での Δt の平均値 Δt_a で無次元化されている。

各図中の実線は平均的な実験直線で、段波の場合は、

$$\Delta t / \Delta t_a = 1.0 \quad \lambda > 40\% \quad \dots(8a)$$

$$= 0.008\lambda + 0.68 \quad \lambda \leq 40\% \quad \dots(8b)$$

サージの場合は、

$$\Delta t / \Delta t_a = 1.0 \quad \lambda > 40\% \quad \dots(9a)$$

$$= 0.004\lambda + 0.84 \quad \lambda \leq 40\% \quad \dots(9b)$$

次元解析に基づいて、 $\lambda > 40\%$ での段波とサージにおける衝突力継続時間の回帰式を求めれば、

$$\Delta t = 0.47(\Delta H/h_0)^{0.15}(\Delta H/D)^{0.30} \cdot (L/D)^{0.14}(D/g)^{0.5} \quad (\text{段波}) \quad \dots(10)$$

$$\Delta t = 0.90(H/D)^{0.38}(L/D)^{0.05} \cdot (D/g)^{0.5} \quad (\text{サージ}) \quad \dots(11)$$

危険側の衝突力継続時間を得るために、式(10)、(11)

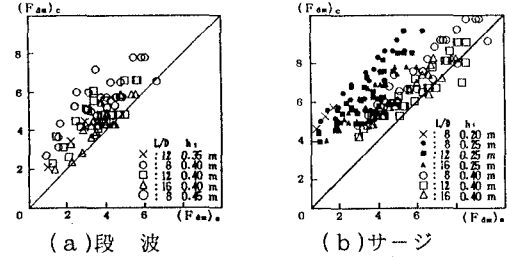


図-6 流木衝突力 F_{dm} の計算値と実験値の比較

の右辺（係数は除く）を各々 X_2 、 X_4 として、実験値をプロットしたものを図-5(a)と(b)に示す。各図中の実線は危険側の包絡線で、各々次式である。

$$\Delta t = 0.42(\Delta H/h_0)^{0.15}(\Delta H/D)^{0.30} \cdot (L/D)^{0.14}(D/g)^{0.5} \quad (\text{段波}) \quad \dots(12)$$

$$\Delta t = 0.81(H/D)^{0.38}(L/D)^{0.05} \cdot (D/g)^{0.5} \quad (\text{サージ}) \quad \dots(13)$$

危険側を与える最終的な衝突力継続時間の評価式を得るには、式(12)、(13)を各々式(8)、(9)の Δt_a と考えればよい。

3.4 最大衝突力 流木衝突力 F_a の経時変化に対して三角形分布を仮定すれば^{1), 2)}、式(1)より最大衝突力 F_{dm} として次式を得る。

$$F_{dm} = 2.0 C_{MA} M u_w / \Delta t \quad \dots(14)$$

式(14)を式(2)、(6)、(8)、(12)または式(3)、(7)、(9)、(13)を用いて書き直せば、最終的な最大衝突力の評価式として、段波の場合は、

$$F_{dm} / \gamma D^2 L = 6.7(\Delta H/h_0)^{0.34}(\Delta H/D)^{0.42} \cdot (L/D)^{-0.40} \quad \lambda > 40\% \quad \dots(15a)$$

$$= 4.9 \{(3\lambda + 50) / (\lambda + 85)\} (\Delta H/h_0)^{0.34} \cdot (\Delta H/D)^{0.42} (L/D)^{-0.40} \quad \lambda \leq 40\% \quad \dots(15b)$$

サージの場合は、

$$F_{dm} / \gamma D^2 L = 17.5(H/D)^{0.61}(L/D)^{-0.32} \quad \lambda > 40\% \quad \dots(16a)$$

$$= 12.9 \{(3\lambda + 220) / (\lambda + 210)\} (H/D)^{0.61} \cdot (L/D)^{-0.32} \quad \lambda \leq 40\% \quad \dots(16b)$$

を得る。ここで、 γ は流木の単位体積重量である。式(15)、(16)の計算値と実験値の比較を図-6(a)と(b)に示す。計算値は実験値より大きめで、かつ包絡しており、これ等の評価式は有用なものと思われる。

4. むすび 新たな実験データを加えて、段波とサージに伴う流木の実用的な衝突力評価式を提案した。

《文献》 1) 松富：土木学会論文集、No.467、1993。

2) 松富・白鳥：海岸工学論文集、第41巻、1994。